

九州産業大学 正員 嶋山正常、細川土佐男、阿部孝行
株式会社 総合技術コンサルタント 正員 新見文彦

1. まえがき 海岸付近の埋立場においては埋立土中に含まれている工場廃水その他の人工廃棄物中の有害物の湾域への漏出防止対策が検討されなければならない。この防止対策には、生物、化学あるいは力学的処理方法あるいはこれらを併用する方法などが考えられる。本報はこれらのなかの力学的対策の一つとして図-1(A)または図-2(A)に示しているような海水注入によるラスター-カーテンによって防止する工法を提案し、その流れ場についての水理解析を行ない、その結果を検討したものである。なお、このような構造は、図示の汚水領域が淡水領域である場合には、海岸地盤における地下水保全対策としても有効であると考える。また、図示の点Pが点Eに一致し、IHが自由水面上の曲線となる場合の解析についても、その密度流の特性を考慮のうえ検討を進めていく。

2. 解析 流れ
場は、均質等方性
の砂層であり、流
れは Darcy の法則
に従うものと理想化

する。また、取扱う
物理諸量 E

$$X = x/D, Y = y/D$$

$$\dots (1), \phi = \frac{Y}{D} - \frac{\rho_e H_s}{\rho_f R_f} \dots (2)$$

$$\psi = \Psi/(R_f D) \dots (3)$$

のように無次元化
する。 $\phi = \frac{Y}{D}$ は重
度 $\rho_e \left(\frac{Y}{D} + Y_s \right)$

$\dots (4)$ であるが
される速度ベクトル
シャル、 ψ は流れ
関数、 Y は任意点の圧力、 ρ_f は淡水係数、 Y_s および Y_s は汚水（あるいは淡水）および海水の単位重量であり、また、図中の ε は

$\varepsilon = (Y_s - Y_f)/Y_f \dots (5)$ であり、 $\&$ は単位奥行き当たりの流量である。さて、それぞれの図(C)において、暗きよの形状、大きさおよび位置を何種か設定し、これらについてそれを $\&/(R_f D)$ および各特異点の中を求める。このなかからのちに述べる密度流の特性を満足する解を図(B)の中平面に適用して、中平面を画定し、このなかで Y を解けば、これに対応する X は、
 $\phi = \text{const.} \rightarrow X = - \int (\partial Y / \partial \phi) d\psi \dots (6)$ 、あるいは $\psi = \text{const.} \rightarrow X = \int (\partial Y / \partial \psi) d\phi \dots (7)$ によることができる。なお、図-2(B)の中平面を、図示のように、理論的には $\phi_{DQJ^*} = \infty$ まで拡大すれば点 D' 、 Q' 、
 J' は暗きよ内のいわゆる湧点となり、この位置の Y_s は、 $Y_s^m = \sum_{i=1}^{M+1} (Y_{i, JQJ^*})^{m-1} / (M+1) \dots (8)$ によってほぼ各當に求められる。なお、 $Y_{i, J}^m$ は、格子点 (i, J) における SOR 法による m 回目の Y の算定値を示している。また、 ϕ_{DQJ^*} の値は実際には 5.0×10^3 上程度に立ちれば、実用的には充分満足できる解が得られる。次に、図-3 および図-4 は、図-1(C) および
図-2(C) に対応する擬似 XY 平面において、暗きよの大きさと深さ方向の位置を固定し、これを水平方向に動かして

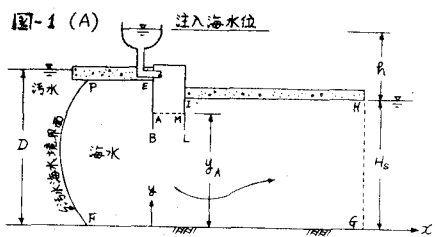


Figure 1(B): A grid-based diagram showing the boundary conditions and governing equations. The domain is divided into a grid. Boundary conditions include $Y = H_s/D$ at the top, $\partial Y / \partial \phi = 0$ at the bottom, and $\psi = \Psi/(R_f D)$ at the right. The governing equation is $\nabla^2 Y = \frac{\partial^2 Y}{\partial x^2} + \frac{\partial^2 Y}{\partial y^2} = 0$. A solution is given as $Y = \left(\frac{1+\varepsilon}{\varepsilon}\right) R_f \left(\phi - \left(\frac{1}{1+\varepsilon}\right) \frac{D}{R_f} - \frac{H_s}{R_f}\right)$.

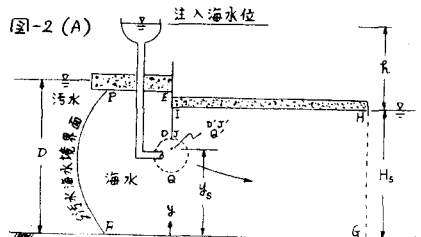
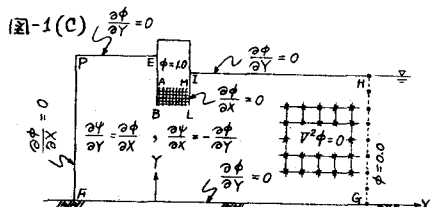
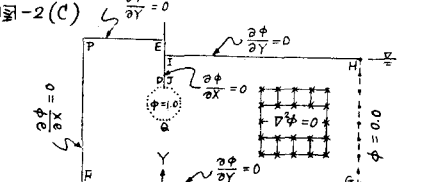


Figure 2(B): A grid-based diagram showing the boundary conditions and governing equations for the domain in Figure 2(A). It includes points P, E, A, B, L, H, H_s, and G. Boundary conditions are $Y = H_s/D$ at the top, $\psi = \Psi/(R_f D)$ at the right, and $\partial Y / \partial \phi = 0$ at the bottom. The governing equation is $\nabla^2 Y = \frac{\partial^2 Y}{\partial x^2} + \frac{\partial^2 Y}{\partial y^2} = 0$. A solution is given as $Y = \left(\frac{1+\varepsilon}{\varepsilon}\right) R_f \left(\phi - \left(\frac{1}{1+\varepsilon}\right) \frac{D}{R_f} - \frac{H_s}{R_f}\right)$. A source term S is shown at the bottom right.



から、その都度中を解き、これを用いて $\delta/(R_f)$ を求め、これによつて $\delta/(R_f)$ および各特異点の中の値を示したものである。この結果は、たとえば暗きよを右へ移動させれば $\delta/(R_f)$ の値は大きくなるというように毎回にえらべてある。なお、これらの結果がえらばれれば、図-1(B)あるいは図-2(B)に示した境界PFA上のYの式より $\{1/(1+\varepsilon)\}(D/R) - (H_s/R) = \frac{1}{\phi_B} \dots (9)$, $\{\varepsilon/(1+\varepsilon)\}(D/R) Y_p = \frac{1}{\phi_p} - \frac{1}{\phi_A} \dots (10)$ がえらばれるから、これよりRを消して $Y_p = (\varepsilon/(1+\varepsilon))(\frac{1}{\phi_p} - \frac{1}{\phi_A}) - (1/(1+\varepsilon))(H_s/D) \dots (11)$ えらばれる。そこで、与えられた ε , H_s のもとで、式(11)で算定される Y_p が

擬似XY平面で与えられた Y_p の値となるようなら ϕ_p/ϕ_A の値となる暗きよ位置を決定しなければならない。この二ヒモ、いかゆる密度流的特性とよぶことにすれば、いまの場合、図-3および図-4に示してあるように、 $Y_p = 0.9$ となる暗きよ位置 $J_E = 52$ および 61 がかどりの特性を満たしている。そりそと注入海水の木頭Rfには、式(10)より $R_f/D = \{\varepsilon/(1+\varepsilon)\} \cdot Y_p / (\phi_p - \phi_A) \dots (12)$ によって算定される。次に、図-5および図-6は、上述のようにして求めた擬似XY平面の $\delta/(R_f)$ および各特異点の中を中立平面に適用してこれを画定し、このなかでYを解き、Xを求めて画かれしたものである。得られたXY平面は暗きよ形状、位置および境界PFAの位置など、予定しておいたものに充分満足できる程度に合致し、これによってここで取扱つたよりはラスター・カーテンの設計が可能になった。なお、擬似XY平面における検討を経ずに、直接中立平面あるいはZY平面を取り扱つても、とても実用的な流れ場の解はえらばない。このことについては著者の1人がすでに他でも述べている。また、

図-5および図-6に記入している等T線は、境界PFAが定常にあらつたのちの時刻0に注入部を流出した海水分子が、その後の時刻Tに満達した座標界を連ねたものであるが、この内側は海水で飽和された領域と注入海水が徐々に浸透していく遷移過程における海水注入開始後の時間Tの海水浸透領域にはほぼ一致することが経験的に知られている。このTの算定式は、いまの場合 $T = \sqrt{(\partial X/\partial \phi)^2 + (\partial Y/\partial \phi)^2} \cdot DL$, $T = t / [D^2 / \{(R_f/R) R_f\}]$, $L = l/D \dots (13)$ となる。ここにtは有次元の時間、lは砂層の空隙率、DLは注入部から任意点までの距離である。⁽¹²⁾

3. あとがき 本報の解析結果について、砂模型による実験を計画している。その結果については詳述する。

- 文献 1) 上田敏比古、杉尾雅: 暗きよからの淡水注入による淡塩境界面の解析、土木学会論文報告集第225号、1974年5月。
2) 島山正常、他3名: 河口貯水池における2次元ラスター・カーテンの設計手法、土木学会第3回年次講演会集、1977年10月。

図-3

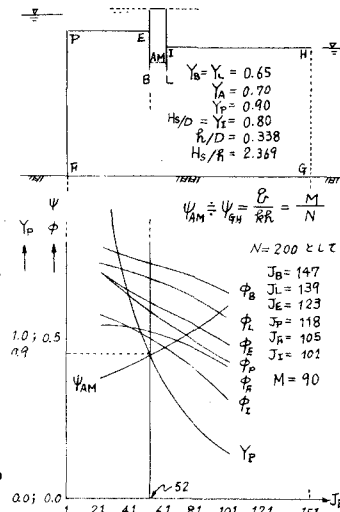


図-4

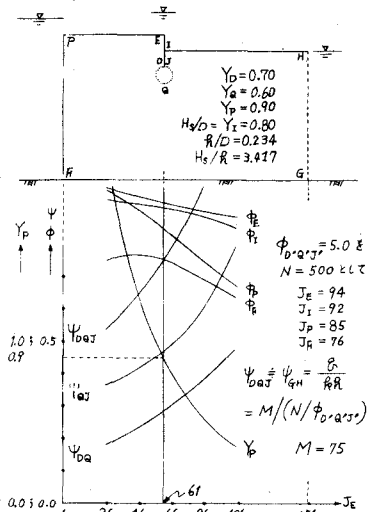


図-5

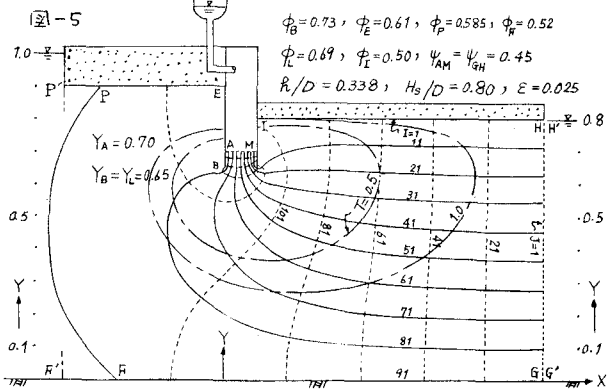


図-6

